

УДК 532.616.1:002.5

Робота присвячена розробці математичної моделі кровоносної судини з появою негерметичності у її стінці з використанням матричного методу розрахунку чотирьополіусників і базується на електричній аналогії руху крові по судинах і руху струму на ділянці електричного кола. Розроблена математична модель дозволяє визначити місце розташування негерметичності по довжині кровоносної судини та її умовний діаметр

Ключові слова: кровоносна судина, негерметичність, пульсова хвиля, кров'яний тиск, довга лінія, чотирьополіусник

Робота посвящена разработке математической модели кровеносного сосуда при появлении негерметичности в его стенке с использованием матричного метода расчета четырехполосников и базируется на электрической аналогии движения крови по сосудам и движения тока на участке цепи. Разработанная математическая модель позволяет определить место расположения негерметичности по длине кровеносного сосуда и ее условный диаметр

Ключевые слова: кровеносный сосуд, негерметичность, пульсовая волна, кровяное давление, длинная линия, четырехполосник

МАТЕМАТИЧЕСКАЯ МОДЕЛЬ КРОВЕНОСНОГО СОСУДА ПРИ ВОЗНИКНОВЕНИИ НЕГЕРМЕТИЧНОСТИ В ЕГО СТЕНКЕ

С. И. Владов

Аспирант*

E-mail: ser26101968@gmail.com

О. Г. Аврунин

Доктор технических наук, доцент

Кафедра биомедицинской инженерии

Харьковский национальный университет радиоэлектроники
пр. Ленина, 14, г. Харьков, Украина, 61166

E-mail: gavrun@list.ru

В. А. Мосьпан

Кандидат технических наук, доцент, заведующий кафедрой*

E-mail: kafea@kdu.edu.ua

А. А. Юрко

Кандидат технических наук, доцент*

E-mail: kafea@kdu.edu.ua

*Кафедра электронных аппаратов

Кременчугский национальный университет

им. Михаила Остроградского

ул. Первомайская, 20, г. Кременчуг, Украина, 39614

1. Введение

Как известно, наряду с клиническими методами диагностики движения крови по сосудам, важную роль играет математическое моделирование гемодинамических процессов, выявлять закономерности функционирования системы кровообращения человека, прогнозировать последствия хирургических вмешательств и различных заболеваний и патологий, связанных с движением крови по сосудам.

Одной из распространённых патологий кровеносных сосудов является наличие негерметичности их стенок, что приводит к возникновению кровотечения. Поэтому актуальной, с клинической точки зрения, задачей является построение математической модели движения крови по сосудам с учетом возникновения негерметичности в их стенке, что позволит определить место расположения негерметичности стенок сосудов и провести как клиническое, так и оперативное вмешательство по устранению данной патологии у конкретного человека.

2. Анализ литературных данных и постановка проблемы

Поставленная в работе проблема является актуальной, о чем свидетельствует постоянный рост публика-

ций по этой тематике [1, 2]. В результате исследований [3] было установлено, что появление негерметичности в стенке сосуда («свища») приводит к изменению как частотного состава спектра сигнала пульсовой волны, так и непосредственно ее формы. Моделируя его волноводной системой, учитывая эластичные свойства стенки сосуда [4], поставим задачу определения линейной координаты «свища» на стенке сосуда и его условного диаметра.

Решение данной задачи ведется с использованием метода электродинамических аналогий, а, именно, с применением модели системы кровообращения в виде согласованной длинной линии [5], что позволяет смоделировать кровеносный сосуд эквивалентной электрической цепью с применением теории линий с распределенными параметрами и теории четырехполосников. При этом считается, что эквивалентная линия питается от источника ЭДС, сигнал которого формируется по закону квадрата синуса $\sin^2(\omega_1 t)$ с заданной частотой первой гармоники $\omega_1 = 2\pi f_{\text{ЧСС}}$ – частотой сердечных сокращений, что является аналогом модели сигнала пульсовой волны во время выброса крови из левого желудочка сердца в период систолы [6].

Данное условие представляется вполне обоснованным, поскольку в установившемся режиме движения крови в системе кровеносных сосудов соответствующим

щий ему спектр акустических шумов будет иметь некоторую преобладающую частоту. Это, в свою очередь, позволяет использовать в расчетах метод комплексных амплитуд [7].

3. Цель и задачи исследования

Целью работы является разработка математической модели кровеносного сосуда, позволяющей определить как место и условный диаметр отверстия, вызванное негерметичностью, так и влияние негерметичности на форму пульсовой волны и на значение кровяного давления.

Для достижения поставленной цели ставим задачи:

- разработать математическую модель, которая позволит определить вид сигнала пульсовой волны в кровеносных сосудах при нормальном кровотоке и с наличием патологий, связанных с негерметичностью в их стенках, что позволит провести сравнение полученных результатов и определить влияние негерметичности в стенке сосуда на форму и амплитуду пульсовой волны;

- подтвердить адекватность разработанной модели по критерию Стьюдента, что даст возможность определить различия между средними значениями экспериментальной группы 1 (сигнала пульсовой волны при нормальном кровотоке) и экспериментальной группы 2 (сигнала пульсовой волны с наличием патологии);

- подтвердить существенность на данном уровне значимости, что будет означать существенные изменения движения крови в сосуде с отверстием в стенке сосуда, что приводит к кровотечению.

4. Материал и результаты исследований процесса прохождения пульсовой волны через участок кровеносного сосуда при возникновении негерметичности в его стенке

Основываясь на положениях теории четырехполюсников, модель кровеносного сосуда представляется эквивалентной электрической П-образной схемой замещения (рис. 1).

Представленный четырехполюсник является обратимым и симметричным.

Известно, что в режиме четырехполюсника матрица передачи отрезка линии имеет вид:

$$A = \begin{pmatrix} A_{11} & A_{12} \\ A_{21} & A_{22} \end{pmatrix} = \begin{pmatrix} \operatorname{ch}(\underline{\gamma} \cdot l) & Z_c \cdot \operatorname{sh}(\underline{\gamma} \cdot l) \\ \frac{\operatorname{sh}(\underline{\gamma} \cdot l)}{Z_c} & \operatorname{ch}(\underline{\gamma} \cdot l) \end{pmatrix}. \quad (1)$$

Перейдем к анализу параметров матрицы (1) с учетом возникшей негерметичности стенки кровеносного сосуда.

На рис. 1 обозначено: Z_{Π} , Y_{Π} – эквивалентные упругоинерционно-диссипативные параметры среды, заполняющей сосуд; U_1 , U_2 , I_1 , I_2 – комплексные входные и выходные напряжения и токи как аналоги давлений крови и скоростей кровотока в сосуде

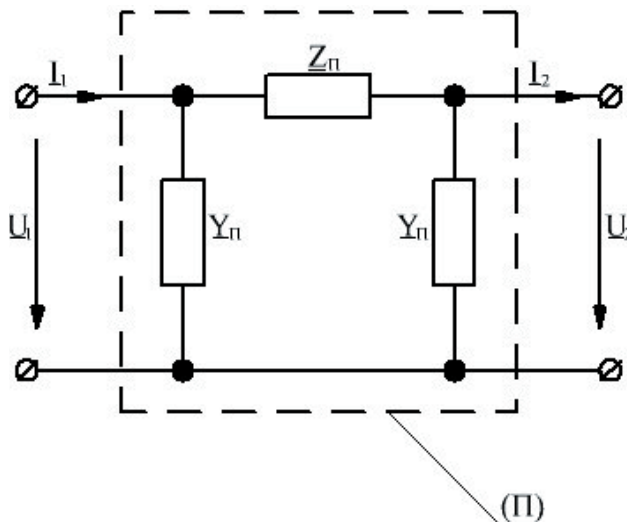


Рис. 1. Схема пассивного (П) П-образного четырехполюсника как электрического аналога модели кровеносного сосуда

Эквивалентные параметры Z_{Π} , Y_{Π} для П-образной схемы замещения четырехполюсника определяются по формулам:

$$Z_{\Pi}(j\omega) = Z_c(j\omega) \cdot \operatorname{sh}(\underline{\gamma} \cdot l) = \sqrt{\frac{R_0 + j\omega L_0}{j\omega C_0}} \cdot \operatorname{sh}(\sqrt{(R_0 + j\omega L_0) \cdot j\omega C_0} \cdot l); \quad (2)$$

$$Y_{\Pi}(j\omega) = \frac{\operatorname{ch}(\underline{\gamma} \cdot l) - 1}{Z_c(j\omega) \cdot \operatorname{sh}(\underline{\gamma} \cdot l)} = \frac{\operatorname{ch}(\sqrt{(R_0 + j\omega L_0) \cdot j\omega C_0} \cdot l) - 1}{\sqrt{\frac{R_0 + j\omega L_0}{j\omega C_0}} \cdot \operatorname{sh}(\sqrt{(R_0 + j\omega L_0) \cdot j\omega C_0} \cdot l)}; \quad (3)$$

где l – длина сосуда; R_0 , L_0 , C_0 – эквивалентные параметры модели кровеносного сосуда в виде длинной линии, которые вычисляются по формулам [5]:

$$R_0 = \frac{8 \cdot \pi \cdot \eta}{S^2}, \quad L_0 = \frac{\rho}{S}, \quad C_0 = \frac{2 \cdot r \cdot S}{E \cdot h}, \quad (4)$$

где η – вязкость крови, ρ – плотность крови; r – радиус поперечного сечения сосуда; $S = \pi r^2$ – площадь поперечного сечения сосуда; h – толщина стенки сосуда; E – модуль упругости стенки сосуда [8].

Матрица (1) для П-образной схемы замещения представляется в виде:

$$[A_{\Pi}] = \begin{pmatrix} A_{11}^{\Pi} & A_{12}^{\Pi} \\ A_{21}^{\Pi} & A_{22}^{\Pi} \end{pmatrix} = \begin{pmatrix} 1 + \frac{Z_{\Pi}}{Y_{\Pi}} & Z_{\Pi} \\ \frac{1}{Y_{\Pi}} \cdot \left(2 + \frac{Z_{\Pi}}{Y_{\Pi}}\right) & 1 + \frac{Z_{\Pi}}{Y_{\Pi}} \end{pmatrix}; \quad (5)$$

где

$$\frac{\underline{Z}_\Pi}{\underline{Y}_\Pi} = \frac{\underline{Z}_C(j\omega) \cdot \text{sh}^2(\underline{\gamma} \cdot l)}{\text{ch}(\underline{\gamma} \cdot l) - 1} = \frac{\left(\frac{R_0 + j\omega L_0}{j\omega C_0} \right) \cdot \text{sh}^2\left(\sqrt{(R_0 + j\omega L_0) \cdot j\omega C_0} \cdot l\right)}{\text{ch}\left(\sqrt{(R_0 + j\omega L_0) \cdot j\omega C_0} \cdot l\right) - 1}$$

Моделируя локальную негерметичность стенки кровеносного сосуда сосредоточенной индуктивностью [9], представим ее самостоятельным пассивным четырехполюсником.

Тогда исходная электрическая схема замещения по рис. 1 видоизменится и превратится в каскадное соединение (рис. 2).

Для общего случая, когда $l_1 \neq l_2$, $Z_1 \neq Z_2$ и $Y_1 \neq Y_2$. Сопоставляя схемы, представленные на рис. 1 и рис. 2, можно сделать вывод о том, что при неизменности входных параметров (U_1 и I_1) для (П) и (В) выходные напряжения и токи для обеих цепей будут различными.

При этом очевидны следующие неравенства: $\underline{U}_2^* < \underline{U}_2$ и $\underline{I}_2^* < \underline{I}_2$.

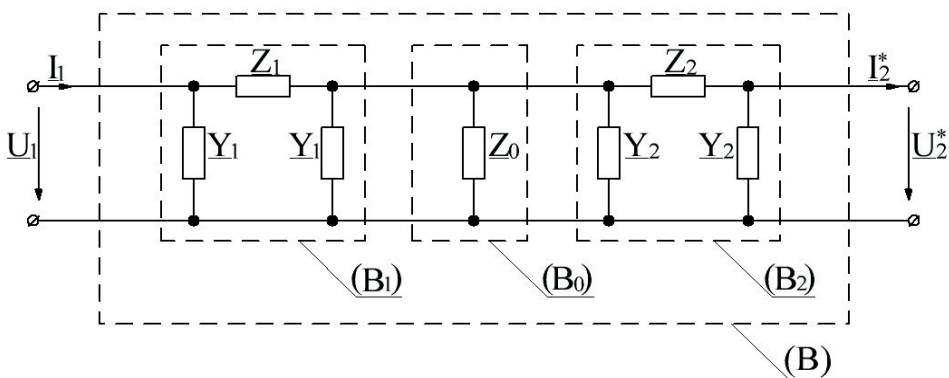


Рис. 2. Электрическая схема-аналог модели кровеносного сосуда с негерметичностью стенки

На рис. 2 обозначено: (B1) – пассивный четырехполюсник как аналог модели участка кровеносного сосуда длины l1 (от начала сосуда до места негерметичности стенки); (B0) – пассивный четырехполюсник, замещающий негерметичность стенки сосуда (отверстие); $Z_0 = j\omega \cdot L$ – индуктивное сопротивление, в котором индуктивность L замещает акустическую массу отверстия [9]; (B2) – пассивный четырехполюсник как аналог модели участка кровеносного сосуда длины l2 (от места негерметичности стенки до конца сосуда); (B) – эквивалентный пассивный четырехполюсник, замещающий модель кровеносного сосуда длины $l = l_1 + l_2$ с негерметичностью

Используя матричный метод расчета цепной схемы по рис. 2, можно определить обобщенные параметры (B), учитывающие как место расположения негерметичности по длине сосуда, так и ее условный диаметр.

Для четырехполюсников (B1), (B2) и (B0) составим матрицы коэффициентов А-формы [B1], [B2] и [B0] соответственно:

$$[B_1] = \begin{pmatrix} \underline{A}_{11}^1 & \underline{A}_{12}^1 \\ \underline{A}_{21}^1 & \underline{A}_{22}^1 \end{pmatrix} = \begin{pmatrix} 1 + \frac{\underline{Z}_1}{\underline{Y}_1} & \underline{Z}_1 \\ \frac{1}{\underline{Y}_1} \cdot \left(2 + \frac{\underline{Z}_1}{\underline{Y}_1} \right) & 1 + \frac{\underline{Z}_1}{\underline{Y}_1} \end{pmatrix}, \tag{6}$$

$$[B_2] = \begin{pmatrix} \underline{A}_{11}^2 & \underline{A}_{12}^2 \\ \underline{A}_{21}^2 & \underline{A}_{22}^2 \end{pmatrix} = \begin{pmatrix} 1 + \frac{\underline{Z}_2}{\underline{Y}_2} & \underline{Z}_2 \\ \frac{1}{\underline{Y}_2} \cdot \left(2 + \frac{\underline{Z}_2}{\underline{Y}_2} \right) & 1 + \frac{\underline{Z}_2}{\underline{Y}_2} \end{pmatrix}, \tag{7}$$

$$[B_0] = \begin{pmatrix} \underline{A}_{11}^0 & \underline{A}_{12}^0 \\ \underline{A}_{21}^0 & \underline{A}_{22}^0 \end{pmatrix} = \begin{pmatrix} 1 & 0 \\ \frac{1}{\underline{Z}_0} & 1 \end{pmatrix}; \tag{8}$$

где Z_1, Y_1, Z_2, Y_2 определяются по формулам (2) и (3) соответственно для соответствующей длины участка сосуда l_1 и l_2 .

Осуществляя поэтапное перемножение матриц коэффициентов цепной схемы, т. е. двигаясь слева направо, будем иметь:

$$[B'] = [B_0] \cdot [B_2] \text{ и}$$

$$[B] = [B_1] \cdot [B'], \tag{9}$$

что в итоге даст искомую матрицу коэффициентов [B] эквивалентного пассивного четырехполюсника (B):

$$[B] = \begin{pmatrix} \underline{B}_{11} & \underline{B}_{12} \\ \underline{B}_{21} & \underline{B}_{22} \end{pmatrix}, \tag{10}$$

где коэффициенты матрицы [B] имеют вид:

$$\underline{B}_{11} = \underline{A}_{11}^1 \cdot \underline{A}_{11}^2 + \frac{\underline{A}_{12}^1 \cdot \underline{A}_{11}^2}{\underline{Z}_0} + \underline{A}_{12}^1 \cdot \underline{A}_{22}^2, \tag{11}$$

$$\underline{B}_{12} = \underline{A}_{11}^1 \cdot \underline{A}_{12}^2 + \frac{\underline{A}_{12}^1 \cdot \underline{A}_{12}^2}{\underline{Z}_0} + \underline{A}_{12}^1 \cdot \underline{A}_{22}^2, \tag{12}$$

$$\underline{B}_{21} = \underline{A}_{21}^1 \cdot \underline{A}_{11}^2 + \frac{\underline{A}_{22}^1 \cdot \underline{A}_{11}^2}{\underline{Z}_0} + \underline{A}_{22}^1 \cdot \underline{A}_{22}^2, \tag{13}$$

$$\underline{B}_{22} = \underline{A}_{21}^1 \cdot \underline{A}_{12}^2 + \frac{\underline{A}_{22}^1 \cdot \underline{A}_{12}^2}{\underline{Z}_0} + \underline{A}_{22}^1 \cdot \underline{A}_{22}^2. \tag{14}$$

Для определения новых выходных параметров (\underline{U}_2^* и \underline{I}_2^*) эквивалентного четырехполюсника (B), которые характеризуют появление негерметичности стенки сосуда, базовую систему уравнений для этих новых условий рационально записать, используя А-форму, т. е.:

$$\begin{cases} \underline{U}_1 = \underline{B}_{11} \cdot \underline{U}_2^* + \underline{B}_{12} \cdot \underline{I}_2^*, \\ \underline{I}_1 = \underline{B}_{21} \cdot \underline{U}_2^* + \underline{B}_{22} \cdot \underline{I}_2^*. \end{cases} \tag{15}$$

По существу, система уравнений (15) является обобщенным алгоритмом расчета параметров модели кровеносного сосуда с негерметичностью. С его помощью можно определить сам факт возникновения негерметичности (Z_0), ее условный диаметр (вариации Z_0) и ее координату на участке кровеносного сосуда.

Вычислим напряжение на выходе эквивалентного четырехполюсника, пользуясь матричной формой записи системы уравнений (15):

$$\begin{pmatrix} B_{11} & B_{12} \\ B_{21} & B_{22} \end{pmatrix} \times \begin{pmatrix} U_2^* \\ I_2^* \end{pmatrix} = \begin{pmatrix} U_1 \\ I_1 \end{pmatrix}, \quad (16)$$

Из (16) вычисляем U_2^* :

$$U_2^* = \frac{\Delta_1}{\Delta} = U_1 \cdot \frac{B_{22}}{B_{11} \cdot B_{22} - B_{12} \cdot B_{21}} - I_1 \cdot \frac{B_{12}}{B_{11} \cdot B_{22} - B_{12} \cdot B_{21}}, \quad (17)$$

где

$$\Delta = \begin{vmatrix} -11 & -12 \\ -21 & -22 \end{vmatrix} = B_{11} \cdot B_{22} - B_{12} \cdot B_{21},$$

$$\Delta_1 = \begin{vmatrix} U_1 & -12 \\ I_1 & -22 \end{vmatrix} = U_1 \cdot B_{22} - I_1 \cdot B_{21}.$$

Вычисление тока I_1 идет методом замены источника входного ЭДС (рис. 3, а) на источник тока и представления эквивалентного четырехполюсника (Т) Т-образной схемой замещения с параметрами Z_T , Y_T (рис. 3, б).

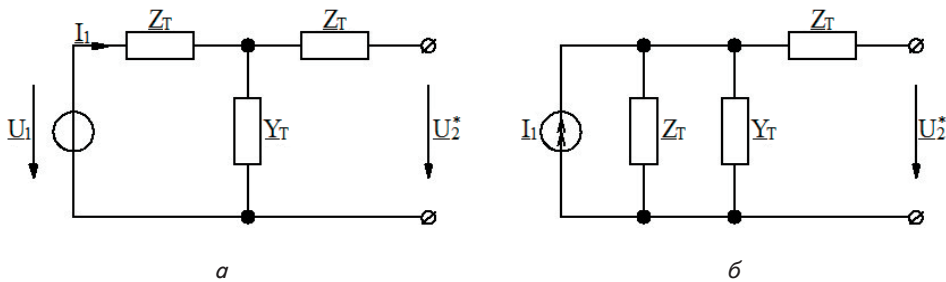


Рис. 3. Схема пассивного (Т) Т-образного четырехполюсника как электрического аналога модели кровеносного сосуда с учетом негерметичности его стенки: а – в исходном состоянии; б – с учетом замены источника входного ЭДС на источник тока

Входной ток I_1 определяется по формуле:

$$I_1 = \frac{U_1}{Z_T} = U_1 \cdot \frac{B_{21}}{2 \cdot (B_{11} - 1)}, \quad (18)$$

$$Z_T = 2 \cdot \frac{B_{11} - 1}{B_{21}}. \quad (19)$$

С учетом (18) выражение (17) принимает вид:

$$U_2^* = \frac{\Delta_1}{\Delta} = U_1 \cdot \left(\frac{B_{22}}{B_{11} \cdot B_{22} - B_{12} \cdot B_{21}} - \frac{B_{21}}{2 \cdot (B_{11} - 1)} \cdot \frac{B_{12}}{B_{11} \cdot B_{22} - B_{12} \cdot B_{21}} \right). \quad (20)$$

Таким образом, передаточная функция модели участка кровеносного сосуда с негерметичностью его стенки имеет вид:

$$\begin{aligned} H^* &= \frac{U_2^*}{U_1} = \frac{B_{22}}{B_{11} \cdot B_{22} - B_{12} \cdot B_{21}} - \frac{B_{21}}{2 \cdot (B_{11} - 1)} \times \\ &\times \frac{B_{12}}{B_{11} \cdot B_{22} - B_{12} \cdot B_{21}} = \frac{1}{B_{11} \cdot B_{22} - B_{12} \cdot B_{21}} \times \\ &\times \left(B_{22} - \frac{B_{21} \cdot B_{12}}{2 \cdot (B_{11} - 1)} \right). \end{aligned} \quad (21)$$

Рассмотрим процесс кровообращения в бедренной артерии при нормальном кровотоке и при кровотечении, вызванным отверстием в сосуде диаметром 1,5 мм на расстоянии 230 мм от начала сосуда, т. е. $l_1 = 230$ мм; $l_0 = 1,5$ мм; $l_2 = 218,5$ мм.

Как было приведено в [5], модель участка системы кровообращения человека в виде согласованной длинной линии с потерями характеризуется передаточной функцией, которая для бедренной артерии при нормальном кровообращении имеет вид:

$$H_2(j\omega) = H_{2A} \cdot e^{-l_2 \cdot \sqrt{(R_{02} + j\omega L_{02})j\omega C_{02}}}, \quad (22)$$

где H_{2A} – модуль коэффициента передачи.

В табл. 1 приведены результаты расчетов основных параметров моделей аорты (второй столбец табл. 1) и бедренной артерии (третий столбец табл. 1), представленных в виде длинной линии. Следует учесть, что как для модели аорты, так и для модели бедренной артерии вязкость крови, плотность крови, частота сердечных сокращений и давление в левом желудочке сердца являются неизменными (1-я – 4-я строки табл. 1).

Таблица 1

Входные параметры для расчетов эквивалентных R_0, L_0, C_0 – параметров для моделей аорты и бедренной артерии в виде длинной линии

№ строки	Параметр	Аорта	Бедренная артерия
1	2	3	4
1	Вязкость крови, η , кг / м·с		$4,5 \cdot 10^{-3}$
2	Плотность крови, ρ , кг / м ³		$1,062 \cdot 10^3$

Продолжение таблицы 1

1	2	3	4
3	Частота сердечных сокращений, $f_{\text{ЧСС}}$, Гц	1	
4	Давление в левом желудочке сердца, A_C , Па	17342	
5	Внешний диаметр сосуда, d_H , м	$15,3 \cdot 10^{-3}$	$2,5 \cdot 10^{-3}$
6	Внутренний диаметр сосуда, d_B , м	$11,3 \cdot 10^{-3}$	$1,5 \cdot 10^{-3}$
7	Толщина стенки сосуда, h , м	$2 \cdot 10^{-3}$	$0,5 \cdot 10^{-3}$
8	Внутренний радиус сосуда, d_B , м	$5,65 \cdot 10^{-3}$	$0,75 \cdot 10^{-3}$
9	Площадь поперечного сечения сосуда, S , м^2	$1,003 \cdot 10^{-4}$	$1,767 \cdot 10^{-6}$
10	Длина сосуда, l , м	0,6	0,45

Рассчитываем эквивалентные R_{02}, L_{02}, C_{02} – параметры для модели бедренной артерии согласно (4):

$$R_{02} = \frac{8 \cdot \pi \cdot \eta}{S_2^2} = \frac{8 \cdot \pi \cdot 4,5 \cdot 10^{-3}}{(1,767 \cdot 10^{-6})^2} = 3,622 \cdot 10^{10} \left(\frac{\text{кг}}{\text{м}^5 \cdot \text{с}} \right),$$

$$L_{02} = \frac{\rho}{S_2} = \frac{1,062 \cdot 10^3}{1,767 \cdot 10^{-6}} = 5,998 \cdot 10^8 \left(\frac{\text{кг}}{\text{м}^5} \right),$$

$$C_{02} = \frac{2 \cdot \Gamma_2 \cdot S_2}{E_2 \cdot h_2} = \frac{2 \cdot 0,75 \cdot 10^{-3} \cdot 1,767 \cdot 10^{-6}}{1,407 \cdot 10^5 \cdot 0,5 \cdot 10^{-3}} = 3,768 \cdot 10^{-11} \left(\frac{\text{с}^2}{\text{кг} \cdot \text{м}} \right),$$

где модуль Юнга стенки сосуда $E_2 = 1,407 \cdot 10^5$ Па согласно [8].

Входным сигналом является сигнал пульсовой волны после прохождения аорты [5], т. е.:

$$\begin{aligned} \underline{U}_{\text{ВХ}}(\omega) &= \underline{U}_1(\omega) \cdot \underline{H}_{1A}(\omega) = \\ &= \frac{3}{4} \cdot e^{-l \cdot \sqrt{(R_{01} + j\omega L_{01}) + j\omega C_{01}}} \cdot \int_0^T A_C \cdot \sin^2(\omega_1 \cdot t) \cdot e^{-j\omega t} dt. \end{aligned} \quad (23)$$

Рассчитываем эквивалентные R_{01}, L_{01}, C_{01} – параметры для модели аорты согласно (4):

$$R_{01} = \frac{8 \cdot \pi \cdot \eta}{S_1^2} = \frac{8 \cdot \pi \cdot 4,5 \cdot 10^{-3}}{(1,003 \cdot 10^{-4})^2} = 1,127 \cdot 10^7 \left(\frac{\text{кг}}{\text{м}^5 \cdot \text{с}} \right),$$

$$L_{01} = \frac{\rho}{S_1} = \frac{1,062 \cdot 10^3}{1,003 \cdot 10^{-4}} = 1,057 \cdot 10^7 \left(\frac{\text{кг}}{\text{м}^5} \right),$$

$$C_{01} = \frac{2 \cdot \Gamma_1 \cdot S_1}{E_1 \cdot h_1} = \frac{2 \cdot 5,65 \cdot 10^{-3} \cdot 1,003 \cdot 10^{-4}}{7,348 \cdot 10^4 \cdot 2 \cdot 10^{-3}} = 7,711 \cdot 10^{-9} \left(\frac{\text{с}^2}{\text{кг} \cdot \text{м}} \right),$$

где модуль Юнга стенки сосуда $E_1 = 7,348 \cdot 10^4$ Па согласно [8].

Рассчитываем параметр L , исходя из того, что по условию диаметр отверстия в стенке сосуда составляет 1,5 мм ($d = 1,5$ мм), по формуле:

$$L = \frac{\rho}{S} = \frac{4 \cdot \rho}{\pi \cdot d^2} = \frac{4 \cdot 1,062 \cdot 10^3}{\pi \cdot (1,5 \cdot 10^{-2})^2} = 6,013 \cdot 10^6 \left(\frac{\text{кг}}{\text{м}^5} \right).$$

Для исследования процесса прохождения пульсовой волны через бедренную артерию в частотной

области воспользуемся следующими соотношениями:

– при нормальном кровотоке:

$$\begin{aligned} \underline{U}_2(\omega) &= \underline{U}_1(\omega) \cdot \underline{H}_{1A}(\omega) \cdot \underline{H}_{2A}(\omega) = \\ &= \underline{H}_{1A}(\omega) \cdot \underline{H}_{2A}(\omega) \cdot \int_0^T A_C \cdot \sin^2(\omega_1 \cdot t) \cdot e^{-j\omega t} dt. \end{aligned} \quad (24)$$

– при наличии негерметичности стенки сосуда диаметром 1,5 мм:

$$\begin{aligned} \underline{U}_2^*(\omega) &= \underline{U}_1(\omega) \cdot \underline{H}_{1A}(\omega) \cdot \underline{H}^*(\omega) = \\ &= \underline{H}_{1A}(\omega) \cdot \underline{H}^*(\omega) \cdot \int_0^T A_C \cdot \sin^2(\omega_1 \cdot t) \cdot e^{-j\omega t} dt. \end{aligned} \quad (25)$$

Для воспроизведения исходного сигнала в виде функции времени применяем обратное преобразование Фурье:

$$\begin{aligned} U_2(t) &= \\ &= \int_{-\infty}^{\infty} \left(\underline{H}_{1A}(\omega) \cdot \underline{H}_{2A}(\omega) \cdot \int_0^T A_C \cdot \sin^2(\omega_1 \cdot t) \cdot e^{-j\omega t} dt \right) \cdot e^{j\omega t} d\omega, \end{aligned} \quad (26)$$

$$\begin{aligned} U_2^*(t) &= \\ &= \int_{-\infty}^{\infty} \left(\underline{H}_{1A}(\omega) \cdot \underline{H}^*(\omega) \cdot \int_0^T A_C \cdot \sin^2(\omega_1 \cdot t) \cdot e^{-j\omega t} dt \right) \cdot e^{j\omega t} d\omega. \end{aligned} \quad (27)$$

В (23)–(27) $U_1(t) = A_C \cdot \sin^2(\omega_1 t)$ – модель сигнала пульсовой волны во время выброса крови из левого желудочка сердца в период систолы [5], где A_C – значение систолического давления в левом желудочке сердца, $\omega_1 = \frac{1}{f_{\text{ЧСС}}}$.

На рис. 4 приведены графики пульсовой волны после прохождения бедренной артерии при нормальном кровотоке $U_2(t)$, построенному согласно выражению (26), и при кровотоке, вызванном отверстием в сосуде диаметром 1,5 мм $U_2^*(t)$, построенному согласно выражению (27).

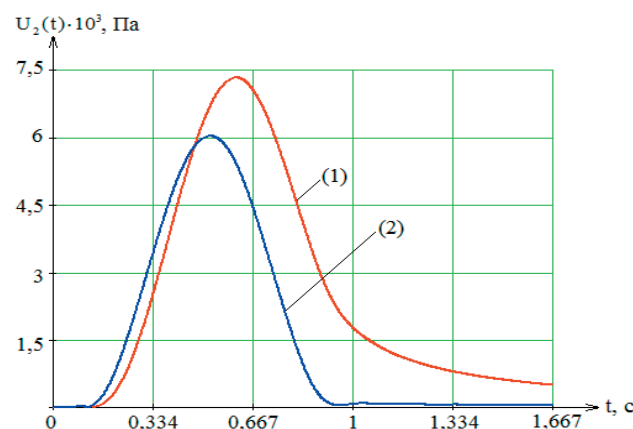


Рис. 4. Вид сигнала пульсовой волны после прохождения бедренной артерии при нормальном кровотоке (1) и при кровотоке, вызванном отверстием в сосуде диаметром 1,5 мм (2)

Как видно из рис. 4, при нормальном кровотоке значение кровяного давления в бедренной артерии составляет ≈ 7500 Па (56 мм рт. ст.), а при наличии отверстия даже незначительного размера, в данном случае – диаметром 1,5 мм, происходит сильное изменение формы пульсовой волны и значительное понижение значения кровяного давления.

Найдем сигнал пульсовой волны после прохождения бедренной артерии при отсутствии негерметичности стенки сосуда, то есть при $\frac{1}{Z_0} = 0$, по формуле (27) и сравним полученный сигнал с сигналом пульсовой волны, полученный по формуле (26).

Как видно из рис. 5, при нормальном кровотоке, то есть при отсутствии негерметичности стенки, графики сигналов пульсовой волны, построенные по (26) и (27), совпадают, что свидетельствует о тождественности выражений (26) и (27) при $\frac{1}{Z_0} = 0$. Таким образом, наличие негерметичности в стенке сосуда определяется ненулевыми значениями коэффициентов в формуле

$$(27) \frac{A_{12}^1 \cdot A_{11}^2}{Z_0}, \frac{A_{12}^1 \cdot A_{12}^2}{Z_0}, \frac{A_{22}^1 \cdot A_{11}^2}{Z_0}, \frac{A_{22}^1 \cdot A_{12}^2}{Z_0}.$$

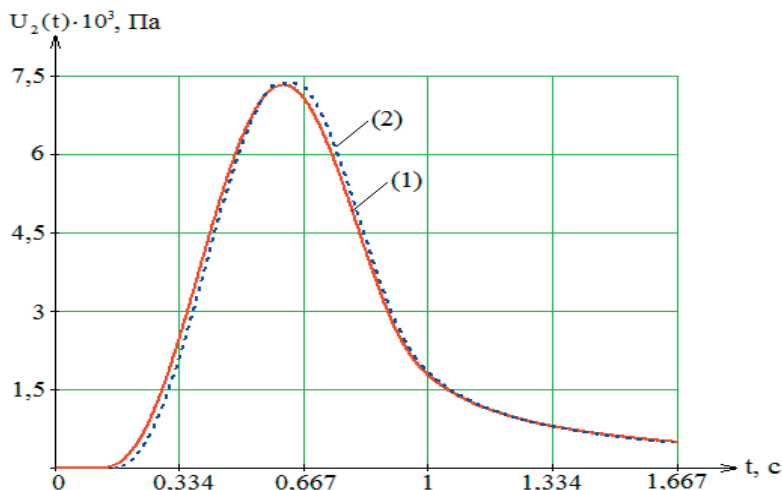


Рис. 5. Вид сигнала пульсовой волны после прохождения бедренной артерии при нормальном кровотоке:

1 – построенный по (26), 2 – построенный по (27) при $\frac{1}{Z_0} = 0$

Таким образом, аналитическое выражение (27) позволяет определить вид сигнала пульсовой волны в кровеносных сосудах с наличием патологий, связанных с негерметичностью в их стенках, что позволяет выявить влияние данной патологии на форму и амплитуду пульсовой волны.

5. Апробация результатов исследований

Для подтверждения адекватности проведенного исследования вычислим двухсторонний критерий Стьюдента, рассчитанное значение $t_{эмп}$ которого должно быть большим критического значения $t_{кр}(\alpha; r)$ на

выбранном уровне значимости $\alpha = 0,05$ и при количестве степеней свободы $r = n_1 + n_2 - 2$, где $n_1 = 9$ – количество экспериментальных точек на кривой 1 (рис. 4), $n_2 = 7$ – количество экспериментальных точек на кривой 2 (рис. 4).

Если $t_{эмп} > t_{кр}(\alpha; r)$, то различия между средними значениями экспериментальной группы 1 и экспериментальной группы 2 существенны на данном уровне значимости, что означает существенные изменения движения крови в сосуде с отверстием в его стенки, что приводит к кровотоку.

Эмпирическое (расчетное) значение двустороннего критерия Стьюдента $t_{эмп}$ определяется по формуле [10]:

$$t_{эмп} = \frac{|M_1 - M_2|}{S_d}, \tag{28}$$

где M_1, M_2 – математическое ожидание первой и второй выборок соответственно (то есть экспериментальных значений с кривых 1 и 2 (рис. 4)) и вычисляются по формулам [10]:

$$M_1 = \frac{1}{n_1} \cdot \sum_{i=1}^{n_1} P_{1i}, \quad M_2 = \frac{1}{n_2} \cdot \sum_{i=1}^{n_2} P_{2i}.$$

Стандартная ошибка разности S_d при $n_1 \neq n_2$ определяется по формуле [10]:

$$S_d = \sqrt{\frac{S_1 + S_2}{n_1 + n_2 - 2} \cdot \left(\frac{n_1 + n_2}{n_1 \cdot n_2} \right)}, \tag{29}$$

где S_1, S_2 – дисперсии первой и второй выборок соответственно, которые вычисляются по формулам [10]:

$$S_1 = \frac{1}{n_1 - 1} \cdot \sum_{i=1}^{n_1} (P_{1i} - M_1)^2,$$

$$S_2 = \frac{1}{n_2 - 1} \cdot \sum_{i=1}^{n_2} (P_{2i} - M_2)^2,$$

где P_{1i} и P_{2i} – экспериментальные значения с кривых 1 и 2 (рис. 4).

В табл. 2 занесены основные экспериментальные значения с кривых 1 и 2 P_{1i} и P_{2i} (рис. 4) (2-я и 3-я строки табл. 2) при одном и том же значении времени t (1-я строка табл. 2), результаты расчетов $M_1, M_2, S_1, S_2, S_d, t_{эмп}$ (4-я – 9-я строки табл. 2), а также значение критического значения критерия Стьюдента $t_{кр}(\alpha; r)$ (10-я строка табл. 2) при $n_1 = n_2, r = 14$ и $\alpha = 0,05$.

Поскольку $t_{эмп} > t_{кр}(\alpha; r)$, значит различия между средними экспериментальными значениями, взятых с кривых 1 и 2 (рис. 4) существенны на данном уровне значимости, что является подтверждением адекватности проведенного исследования и существенное влияние негерметичности стенки сосуда на характер кровотока.

Таблица 2
Основные результаты статистической обработки
эксперимента

№ строки	Значения									
	1	t, с	0,334	0,5005	0,667	0,8335	1	1,167	1,334	1,5005
2	$P_{1i} \cdot 10^3$, Па	2,39	6	7	4,5	1,68	0,86	0,75	0,73	0,6
3	$P_{2i} \cdot 10^3$, Па	3,3	5,9	4,5	0,75	0,1	0,1	0,1	–	–
4	M_1	$2,723 \cdot 10^3$								
5	M_2	$1,964 \cdot 10^3$								
6	S_1	$6,154 \cdot 10^6$								
7	S_2	$5,656 \cdot 10^6$								
8	S_d	462,85								
9	$t_{эмп}$	1,64								
10	$t_{кр}$ (0,05; 14)	1,53								

6. Выводы

В результате выполненных исследований была решена актуальная задача исследования процесса движения крови по сосудам при возникновении негерметич-

ности в их стенках и были сформулированы следующие обобщающие выводы и практические результаты:

1. Проанализированы существующие методы исследования патологий кровеносных сосудов, связанных с негерметичностью в их стенках, в результате чего было установлено ограниченность методов диагностики выявления места негерметичности стенки сосуда, приводящее к развитию кровотечения.

2. Впервые разработана математическая модель, позволяющая определить вид сигнала пульсовой волны в кровеносных сосудах с наличием патологий, связанных с негерметичностью в их стенках, что позволяет выявить влияние данной патологии на форму и амплитуду пульсовой волны [5, 6].

3. Разработанная математическая модель является адекватной по критерию Стьюдента и подтверждает статистическую значимость влияния негерметичности стенки сосуда на характер кровотока.

4. Получил дальнейшее развитие метод электрической аналогии движения крови по сосудам и движения тока на участке цепи, который позволяет определить место расположения «свища», условный диаметр отверстия в стенке и изменение формы пульсовой волны, что позволяет выявить степень развития кровотечения на ранней стадии [4, 5].

5. После проведения полной клинической апробации возможным будет выявить практическую значимость метода и границы его применимости в практической медицине для прогнозирования развития сосудистых патологий, связанных с негерметичностью в их стенках.

Литература

1. Клиническая оценка тяжести кровопотери [Электронный ресурс] / Режим доступа: http://www.allurgery.ru/gastroduodenalnye_krovotecheniya/ocenka_krovopoteri.html.
2. Струков, А. И. Патологическая анатомия [Текст] / А. И. Струков, В. В. Серов. – М.: Медицина, 1995. – С. 236–237.
3. Оценка тяжести кровопотери [Электронный ресурс] / Режим доступа: <http://webspier.ru/doc/110487>.
4. Владимиров, Ю. А. Биофизика [Текст] / Ю. А. Владимиров, Д. И. Роцункин и др. – М.: Медицина, 1983. – С. 200–205.
5. Владов, С. І. Модель системи кровообігу людини у вигляді неоднорідної узгодженої довгої лінії з розподіленими параметрами [Текст] / С. І. Владов, В. О. Мосьпан // Вісник Кременчуцького національного університету імені Михайла Остроградського. – 2012. – Вип. 2/2012 (73). – С. 56–59.
6. Владов, С. І. Побудова моделі сигналу пульсової хвилі як вхідного сигналу моделі системи кровообігу людини у вигляді узгодженої довгої лінії [Текст]: матер. VIII міжн. наук.-прак. конф. / С. І. Владов, В. О. Мосьпан, О. О. Юрко // Ключові аспекти наукової діяльності – 2012, Польща, Пшемисль. – Przemysl: Sp. z o. o. «Nauka i studia». – 2012. – Т. 14. – С. 65–69.
7. Бессонов, Л. А. Теоретические основы электротехники: Электрические цепи [Текст]: Учеб. для электротехн., энерг., приборостроит. спецвузов; 8-е изд., перераб. и доп. / Л. А. Бессонов. – М.: Высшая школа, 1984. – С. 108–128.
8. Vladov, S. Design of the deformed state of blood vessels [Текст] / S. Vladov, V. Mospan, O. Yurko // Nauka i studia. – 2013. – № 7(75). – P. 72–77.
9. Чарный, И. А. Неустановившееся движение реальной жидкости в трубах [Текст] / И. А. Чарный. – М.: Недра, 1975. – С. 27–28.
10. Берестнева, О. Г. Прикладная математическая статистика: учебное пособие [Текст] / О. Г. Берестнева, О. В. Марухина, Г. Е. Шевелёв. – Томск: Изд-во Томского политехнического университета, 2012. – С. 46–66.